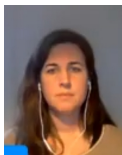


# Ideales distancia de gráficas

## Seminario de estudiantes

Carlos A. Alfaro

- 1 Matrices de distancia
- 2 Forma normal de Smith
- 3 Ideales distancia
- 4 Primeras observaciones
- 5 Ideales distancia de subgráficas inducidas
- 6 Gráficas codeterminantales



Aida Abiad  
Eindhoven University of Technology  
Netherlands



Kristin Heysse  
Macalester College  
USA



Libby Taylor  
Stanford University  
USA



Marcos Vargas  
Banco de México  
México

# Matrices de distancia

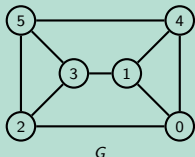
## Definición

Sea  $G$  una gráfica **conexa** con  $n$  vértices.

La **distancia**  $d_G(u, v)$  entre los vértices  $u$  y  $v$  es el número de aristas en un camino mínimo entre  $u$  y  $v$ .

La **matriz de distancia**  $D(G)$  de  $G$  es la matriz  $n \times n$  cuya entrada  $(u, v)$  es la distancia  $d_G(u, v)$  entre los vértices  $u$  and  $v$ .

## Ejemplo



$$D(G) = \begin{matrix} & \begin{matrix} 0 & 1 & 2 & 3 & 4 & 5 \end{matrix} \\ \begin{matrix} 0 \\ 1 \\ 2 \\ 3 \\ 4 \\ 5 \end{matrix} & \begin{bmatrix} 0 & 1 & 1 & 2 & 1 & 2 \\ 1 & 0 & 2 & 1 & 1 & 2 \\ 1 & 2 & 0 & 1 & 2 & 1 \\ 2 & 1 & 1 & 0 & 2 & 1 \\ 1 & 1 & 2 & 2 & 0 & 1 \\ 2 & 2 & 1 & 1 & 1 & 0 \end{bmatrix} \end{matrix}$$

# Matrices de distancia

## Definiciones

La **transmisión**  $Tr(u)$  de  $u$  es  $\sum_{v \in V(G) \setminus u} d_G(v, u)$ .

La **transmisión**  $Tr(G)$  de  $G$  es la matriz diagonal con las transmisiones de sus vertices en la diagonal.

La **matriz de distancia Laplaciana**  $D^L(G)$  de  $G$  es la matriz  $Tr(G) - D(G)$ .

La **matriz de distancia Laplaciana sin signo**  $D^Q(G)$  de  $G$  es la matriz  $Tr(G) + D(G)$ .

## Ejemplo

$$D^L(G) = \begin{bmatrix} 7 & -1 & -1 & -2 & -1 & -2 \\ -1 & -7 & 2 & -1 & -1 & -2 \\ -1 & -2 & 7 & -1 & -2 & -1 \\ -2 & -1 & -1 & 7 & -2 & -1 \\ -1 & -1 & -2 & -2 & 7 & -1 \\ -2 & -2 & -1 & -1 & -1 & 7 \end{bmatrix}$$

$$D^Q(G) = \begin{bmatrix} 7 & 1 & 1 & 2 & 1 & 2 \\ 1 & 7 & 2 & 1 & 1 & 2 \\ 1 & 2 & 7 & 1 & 2 & 1 \\ 2 & 1 & 1 & 7 & 2 & 1 \\ 1 & 1 & 2 & 2 & 7 & 1 \\ 2 & 2 & 1 & 1 & 1 & 7 \end{bmatrix}$$

# Matrices de distancia

Las matrices de distancia son un área de investigación vibrante

- M. Aouchiche, P. Hansen, Distance spectra of graphs: a survey, *Linear Algebra Appl.* 458 (2014) 301–386. (81 citas)
- M. Aouchiche, P. Hansen, Two Laplacians for the distance matrix of a graph, *Linear Algebra Appl.* 439 (2013) 21–33. (66 citas)
- R.L. Graham, H.O. Pollack, On the addressing problem for loop switching, *Bell System Tech. J.* 50 (1971) 2495–2519. (166 citas)

## Forma normal de Smith

Dos matrices  $M$  y  $N$  son **equivalentes** si existen matrices  $P$  y  $Q$  unimodulares (cuadrada, entradas en  $\mathbb{Z}$  y  $\det = 1$  ó  $-1$ ) tal que  $M = PNQ$ .

La **forma normal de Smith** de una matriz con entradas enteras  $M$  es la única matriz diagonal  $\text{diag}(f_1, \dots, f_r, 0, \dots, 0)$  equivalente a  $M$  tal que  $r = \text{rango}(M)$  y  $f_i | f_j$  for  $i < j$ . La denotamos por  $\text{SNF}(M)$ .

Los **factores invariantes** (o **divisores elementales**) de  $M$  son los enteros en la diagonal de  $\text{SNF}(M)$ .

### Teorema (Divisores elementales)

*Sea  $M$  una matriz con entradas enteras con  $f_1, \dots, f_r, 0, \dots, 0$  sus factores invariantes. Para  $1 \leq k \leq r$ , denote por  $\Delta_k$  el gcd de los  $k$ -menores de  $M$ , y  $\Delta_0 = 1$ . Entonces  $f_k = \frac{\Delta_k}{\Delta_{k-1}}$ .*

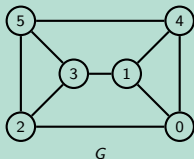
# Ideales distancia

## Definición

Sea  $G$  una gráfica con vértices  $V(G) = \{v_0, \dots, v_{n-1}\}$ . Las variables  $X_G = \{x_0, \dots, x_{n-1}\}$  son variables asociadas a  $V(G)$ .

Definimos la matriz  $D_X(G) = \text{diag}(x_0, \dots, x_{n-1}) + D(G)$ .

## Ejemplo



$$D_X(G) = \begin{bmatrix} x_0 & 1 & 1 & 2 & 1 & 2 \\ 1 & x_1 & 2 & 1 & 1 & 2 \\ 1 & 2 & x_2 & 1 & 2 & 1 \\ 2 & 1 & 1 & x_3 & 2 & 1 \\ 1 & 1 & 2 & 2 & x_4 & 1 \\ 2 & 2 & 1 & 1 & 1 & x_5 \end{bmatrix}$$

# Ideales distancia

## Definición

Sea  $\mathcal{R}[X_G]$  el anillo de polinomios sobre un anillo conmutativo  $\mathcal{R}$  en las variables  $X_G$ .

Denotemos por  $\text{menores}_k(D_X(G))$  al conjunto de determinantes de las submatrices de tamaño  $k \times k$  de  $D_X(G)$ .

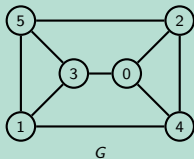
Para  $1 \leq k \leq n$ , el  $k$ -ésimo ideal distancia es el ideal  $\langle \text{menores}_k(D_X(G)) \rangle$ . Y lo denotaremos por  $D_k^{\mathcal{R}}(G, X)$ .

Decimos que un ideal es trivial si es igual a  $\langle 1 \rangle (= \mathcal{R}[X_G])$ .

Denotemos por  $\Phi_{\mathcal{R}}(G)$  al máximo entero  $k$  tal que  $D_k^{\mathcal{R}}(G, X)$  es trivial.

# Ideales distancia

## Ejemplo



$$\begin{bmatrix} x_0 & 2 & 1 & 1 & 1 & 2 \\ 2 & x_1 & 2 & 1 & 1 & 1 \\ 1 & 2 & x_2 & 2 & 1 & 1 \\ 1 & 1 & 2 & x_3 & 2 & 1 \\ 1 & 1 & 1 & 2 & x_4 & 2 \\ 2 & 1 & 1 & 1 & 2 & x_5 \end{bmatrix}$$

$$\Phi_{\mathbb{Z}}(G) = 3$$

Una base de Gröbner para  $D_4^{\mathbb{Z}}(G, X)$  está generada por los siguientes polinomios:

$$\begin{aligned} x_0 + x_3 - 7, x_1 + x_4 - 7, x_2 + x_5 - 7, x_3x_4 - 2x_3 - 2x_4 + 7, \\ x_3x_5 - 5x_3 - 2x_5 + 7, 3x_3 - 3x_5, x_4x_5 - 2x_4 - 2x_5 + 7, \\ 3x_4 + 3x_5 - 21, 3x_5^2 - 21x_5 + 21 \end{aligned}$$

Note  $D_n^{\mathbb{R}}(G, X) = \langle \det(D_X(G)) \rangle$ .

# Ideales distancia

## Definición

La **variedad**  $V(I)$  del ideal  $I$  es el conjunto de las raíces comunes de los polinomios en  $I$ .

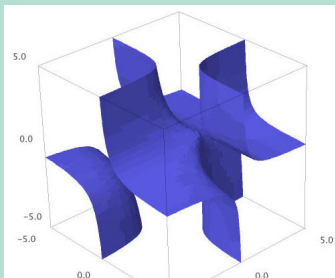
## Ejemplo

Consideremos la gráfica completa  $K_3$  con 3 vertices.

$$\Phi_{\mathbb{R}}(K_3) = 1,$$

$$D_2^{\mathbb{R}}(K_3, X) = \langle x_0 - 1, x_1 - 1, x_2 - 1 \rangle, \text{ con } V(D_2^{\mathbb{R}}(K_3, X)) = \{(1, 1, 1)\}$$

$$I_3^{\mathbb{R}}(K_3, X_{K_3}) = \langle x_0 x_1 x_2 - x_0 - x_1 - x_2 - 2 \rangle. \text{ y } V(I_3^{\mathbb{R}}(K_3, X_{K_3}))$$



# Ideales distancia

Se tiene que

$$\langle 1 \rangle \supseteq D_1^{\mathcal{R}}(G, X) \supseteq \cdots \supseteq D_n^{\mathcal{R}}(G, X) \supseteq \langle 0 \rangle.$$

Por lo que

$$V(\langle 1 \rangle) \subseteq V(D_1^{\mathcal{R}}(G, X)) \subseteq \cdots \subseteq V(D_n^{\mathcal{R}}(G, X)) \subseteq V(\langle 0 \rangle).$$

# Primeras observaciones

- Las variedades de  $D(G, X)$  generalizan el espectro asociado a  $D$ ,  $D^L$  y  $D^Q$ ,
- Al evaluar los ideales distancia ( $\mathbb{Z}[X]$ ) en  $X = 0$  ó  $X = \text{Tr}(G)$  podemos recuperar la SNF de  $D$ ,  $D^L$  y  $D^Q$ .

## Proposición (A. & Taylor, 2020)

*Al evaluar  $D_k^{\mathbb{Z}}(G, X)$  en  $X = 0$  obtenemos un ideal generado por  $\Delta_k(D(G))$ .*

*Al evaluar  $D_k^{\mathbb{Z}}(G, X)$  en  $X = -\text{Tr}(G)$  obtenemos un ideal generado por  $\Delta_k(D^L(G))$ .*

*Al evaluar  $D_k^{\mathbb{Z}}(G, X)$  en  $X = \text{Tr}(G)$  obtenemos un ideal generado por  $\Delta_k(D^Q(G))$ .*

# Primeras observaciones

## Ejemplo

$$D_k^{\mathbb{Z}}(K_3, X) = \begin{cases} \langle 1 \rangle & \text{si } k = 1, \\ \langle x_0 - 1, x_1 - 1, x_2 - 1 \rangle & \text{si } k = 2, \\ \langle x_0 x_1 x_2 - x_0 - x_1 - x_2 + 2 \rangle & \text{si } k = 3. \end{cases}$$

- Al evaluar en  $X = 0$

$$D_i^{\mathbb{Z}}(K_3, X)|_{X=0} = \langle \Delta_i(D(K_3)) \rangle = \begin{cases} \langle 1 \rangle & \text{si } k = 1, \\ \langle 1 \rangle & \text{si } k = 2, \\ \langle 2 \rangle & \text{si } k = 3. \end{cases}$$

Entonces  $\text{SNF}(D(K_3)) = \text{diag}(1, 1, 2)$ .

- Al evaluar en  $X = (-2, -2, -2)$ , obtenemos  $\text{SNF}(D^L(G)) = \text{diag}(1, 3, 0)$
- Al evaluar en  $X = (2, 2, 2)$ , obtenemos  $\text{SNF}(D^Q(G)) = \text{diag}(1, 1, 4)$

# Primeras observaciones

Se han calculado los ideales distancia para pocas familias:

Teorema (Corrales & Valencia, 2013)

*El  $k$ -ésimo ideal distancia de la gráfica completa  $K_n$  con  $n$  vértices es generado por*

$$\begin{cases} \prod_{j=1}^n (x_j - 1) + \sum_{i=1}^n \prod_{j \neq i} (x_j - 1) & \text{si } k = n, \\ \left\{ \prod_{j \in \mathcal{I}} (x_j - 1) : \mathcal{I} \subset [n] \text{ y } |\mathcal{I}| = k - 1 \right\} & \text{si } k < n. \end{cases}$$

Corolario

- $\text{SNF}(D(K_n)) = I_{n-1} \oplus (n-1)$
- $\text{SNF}(D^L(K_n)) = 1 \oplus nI_{n-2} \oplus 0$
- $\text{SNF}(D^Q(K_n)) = 1 \oplus (n-2)I_{n-2} \oplus 2(n-1)(n-2)$

# Primeras observaciones

Teorema (A. & Taylor, 2020)

$$\text{Sea } D_X(K_{m,1}) = \begin{bmatrix} \text{diag}(x_1, \dots, x_m) - 2I_m + 2J_m & J_{m,1} \\ J_{1,m} & y \end{bmatrix}.$$

$$\text{Entonces } \det(D_X(K_{m,1})) = y \prod_{i=1}^m (x_i - 2) + (2y - 1) \sum_{i=1}^m \prod_{\substack{j=1 \\ j \neq i}}^m (x_j - 2).$$

Para  $k \in [m]$ , el  $k$ -ésimo ideal distancia de la gráfica estrella  $K_{m,1}$  está generado por  $\langle C_k \cup D_k \rangle$ . Donde

$$C_k = \left\{ \prod_{i \in \mathcal{I}} (x_i - 2) : \mathcal{I} \subset [m] \text{ and } |\mathcal{I}| = k - 1 \right\} y$$

$$D_k = \left\{ (2y - 1) \prod_{i \in \mathcal{I}} (x_i - 2) : \mathcal{I} \subset [m] \text{ and } |\mathcal{I}| = k - 2 \right\}.$$

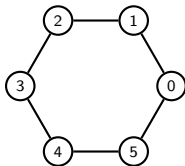
Corolario

- $\text{SNF}(D(K_{m,1})) = I_2 \oplus 2I_{m-2} \oplus 2m$
- $\text{SNF}(D^L(K_{m,1})) = 1 \oplus (2m + 1)I_{m-1} \oplus 0$

# Ideales distancia de subgráficas inducidas

En general, los ideales distancia no son monotonos al tomar subgráficas inducidas.

Por ejemplo, considere  $C_6$  y su subgráfica inducida  $P_5$ . ¡La distancia de las hojas de  $P_5$  es 2 cuando se consideran como vértices de  $C_6$ !



# Ideales distancia de subgráficas inducidas



Ed Howorka

Una familia relacionada son las gráficas de distancia hereditaria que fueron introducidas por Howorka en 1977.

Una gráfica es **de distancia hereditaria** si para cada subgráfica inducida  $H$  de  $G$ , y cada par de vértices  $u, v \in V(H)$ ,  $d_H(u, v) = d_G(u, v)$ .

## Proposición

*Sea  $G$  una gráfica de distancia hereditaria. Si  $H$  es una subgráfica conexa inducida de  $G$ , entonces  $D_k^{\mathcal{R}}(H, X_H) \subseteq D_k^{\mathcal{R}}(G, X_G)$  para todo  $k \leq |V(H)|$ , y  $\Phi_{\mathcal{R}}(H) \leq \Phi_{\mathcal{R}}(G)$ .*

# Ideales distancia de subgráficas inducidas

Propiedades de las gráficas de distancia hereditaria:

- son gráficas **perfectas**, es decir, el número cromático de cada subgráfica inducida es igual al tamaño del mayor clique de esa subgráfica.

Teorema (Fuerte de las gráficas perfectas, Chudnovsky, et. al., 2006)

*Una gráfica  $G$  es perfecta si y sólo si  $G$  y  $\overline{G}$  no contienen un ciclo inducido de longitud impar mayor o igual a 5.*

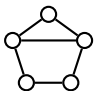
M. Chudnovsky, N. Robertson, P. Seymour, R. Thomas, **The strong perfect graph theorem**, **Ann. Math.** 164 (1) (2006) 51–229.



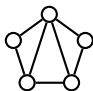
# Ideales distancia de subgráficas inducidas

Propiedades de las gráficas de distancia hereditaria:

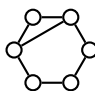
- se caracterizan por ser gráficas que no tienen una casa, un domino, una gema o un ciclo de longitud de 5 o mayor.



casa



gema



domino

# Ideales distancia de subgráficas inducidas

## Lema

$P_4$  y cualquier gráfica que contenga  $P_4$  como subgráfica inducida tiene segundo ideal distancia trivial.

**Prueba.** Sea  $P_4 = \textcircled{v_1} - \textcircled{v_2} - \textcircled{v_3} - \textcircled{v_4}$ . Considere  $G$  una gráfica que contenga a  $P_4$  como subgráfica inducida. La única manera de reducir la distancia entre cualesquiera dos vértices de  $P_4$  en  $G$  es que  $G$  tenga un vértice  $u$  adjacente a  $v_1$  y  $v_4$ . Supongamos que es así. Entonces  $D_X(G)$  contiene la siguiente submatriz

$$M = D_X(G)[V(P_4) \cup \{u\}; V(P_4) \cup \{u\}] = \begin{bmatrix} x_1 & 1 & 2 & 2 & 1 \\ \boxed{1} & x_2 & \boxed{1} & 2 & a \\ 2 & 1 & x_3 & 1 & b \\ \boxed{2} & 2 & \boxed{1} & x_4 & 1 \\ 1 & a & b & 1 & x_u \end{bmatrix}$$

Como  $\det(M[\{v_2, v_4\}; \{v_1, v_3\}]) = -1$ , entonces  $D_2^{\mathcal{R}}(G, X_G) = \langle 1 \rangle$ .

# Ideales distancia de subgráficas inducidas

Es decir,  $P_4$  es **prohibida** para las gráficas con un único ideal distancia trivial.

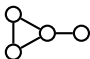
¿Podemos caracterizar las gráficas con 1 ideal distancia trivial?

# Ideales distancia de subgráficas inducidas

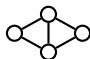
Teorema (A. & Taylor,2020)

Para  $G$  una gráfica simple conexa los siguientes son equivalentes:

- 1  $G$  tiene solo 1 ideal distancia trivial sobre  $\mathbb{Z}[X]$ .
- 2  $G$  es  $\{P_4, \text{paw}, \text{diamond}\}$ -libre.
- 3  $G$  es una subgráfica inducida de  $K_{m,n}$  o  $K_n$ .



paw



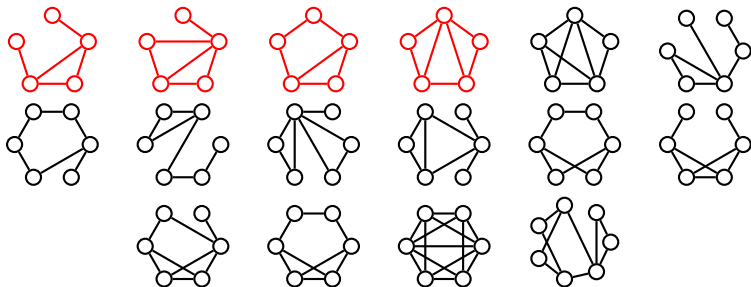
diamond

Teorema (A. & Taylor,2020)

Para  $G$  una gráfica simple conexa los siguientes son equivalentes:

- 1  $G$  tiene solo 1 ideal distancia trivial sobre  $\mathbb{R}[X]$ .
- 2  $G$  es  $\{P_4, \text{paw}, \text{diamond}, C_4\}$ -libre.
- 3  $G$  es una subgráfica inducida de  $K_{1,n}$  o  $K_n$ .

## Ideales distancia de subgráficas inducidas



Teorema (A., 2020)

*Las gráficas con 2 ideales distancia triviales sobre  $\mathbb{Z}[X]$  son libres de las 16 gráficas de arriba y de los ciclos de longitud impar mayores o iguales a 7.*

## Ideales distancia de subgráficas inducidas

Una aplicación en encontrar la caracterización de  $\Lambda_2$  (las graficas con 2 ideales distancia triviales sobre  $\mathbb{Z}[X]$ ) es que de esa caracterización podemos obtener la caracterización de las gráficas cuyas matrices de distancia tienen 2 factores invariantes iguales a 1, puesto que estan contenidas en  $\Lambda_2$ .



Hou



Woo

Yaoping Hou y Ching Wah Woo demostraron que los árboles tienen exactamente 2 factores invariantes iguales a 1. Por lo que

$$\text{árboles} \subseteq \Lambda_2 \subseteq \text{gráficas } \{F, \text{odd-holes}\}\text{-libres.}$$

¿Cual será la clasificación de  $\Lambda_2$ ?

¿Será posible describir los ideales distancia de los árboles?

¿las gráficas bipartitas completas?

# Gráficas codeterminantes

Un **isomorfismo** de gráficas es una biyección  $f$  entre los vértices de una gráfica  $G$  a una gráfica  $H$  que preserva la adyacencia. Si existe un isomorfismo entre dos gráficas  $G$  y  $H$ , decimos que son **isomorfas**.

El **problema del isomorfismo de gráficas** es el problema computacional para determinar si dos gráficas finitas son isomórfas.

No se sabe si el problema puede resolverse en tiempo **polinomial** ni que sea **NP-completo**, por lo que puede estar en una clase de complejidad intermedia.

Se suele aproximar el problema al checar si las gráficas son coespectrales, ya que es más fácil checar coespectralidad.

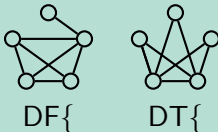
# Gráficas codeterminantes

## Definición

Dos gráficas  $G$  y  $H$  no isomorfas son  $M$ -**coespectrales** si las matrices  $M(G)$  y  $M(H)$  tienen los mismos multiconjuntos de eigenvalores.

$M$  puede ser alguna de las matrices  $D, D^L, D^Q, A, L, Q, \dots$

## Ejemplo



Gráficas  $D^Q$ -coespectrales cuyo  $D^Q$ -espectro es  
 $[-2112, 2480, -1132, 249, -26, 1]$

## Definición

Una gráfica se dice ser **determinanda por su espectro** si cualquier otra gráfica con el mismo espectro es isomorfa a ella.

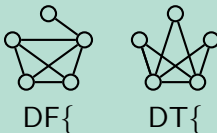
# Gráficas codeterminantales

## Definición

Dos gráficas  $G$  y  $H$  no isomorfas son  $M$ -**coinvariantes** si las matrices  $M(G)$  y  $M(H)$  tienen la misma forma normal de Smith (SNF).

$M$  puede ser alguna de las matrices  $D$ ,  $D^L$ ,  $D^Q$ ,  $A$ ,  $L$ ,  $Q$ , ...

## Ejemplo



Gráficas  $D^Q$ -coinvariantes cuya  $D^Q$ -SNF es  $\text{diag}(1, 1, 4, 4, 132)$

## Definición

Una gráfica se dice ser **determinanda por su SNF** si cualquier otra gráfica con la misma SNF es isomorfa a ella.

# Gráficas codeterminantales

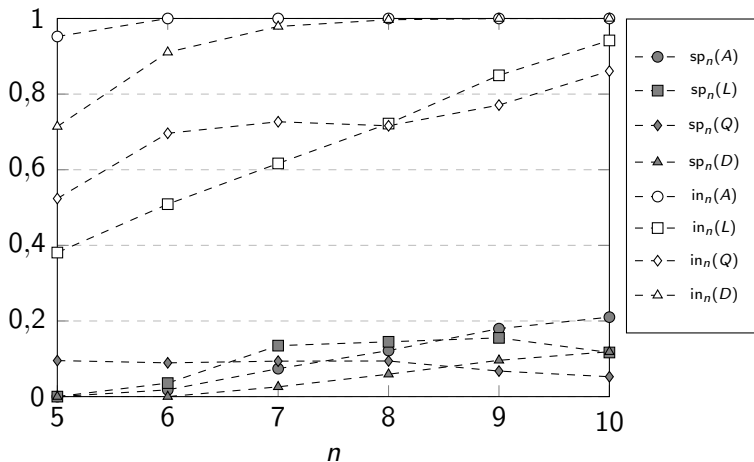
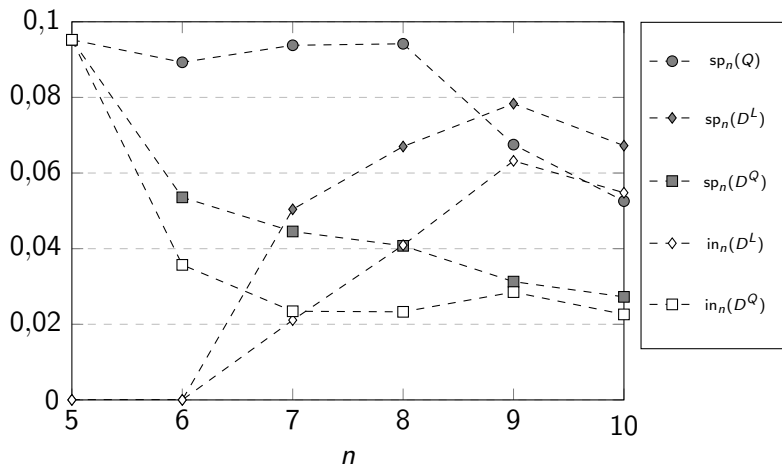


Figura:  $sp(M)$  denota la fracción de gráficas en  $n$  vértices que tienen al menos una gráfica  $M$ -coespectral.  $in(M)$  denota la fracción de gráficas en  $n$  vértices que tienen al menos una gráfica  $M$ -coinvariante.

## Gráficas codeterminantales



**Figura:**  $sp(M)$  denota la fracción de graficas en  $n$  vértices que tienen al menos una grafica  $M$ -coespectral.  $in(M)$  denota la fracción de graficas en  $n$  vértices que tienen al menos una grafica  $M$ -coinvariante.

# Gráficas codeterminantes

Teorema (Abiad, A., Heysse & Vargas, 2019)

*Las gráficas completas están determinadas por la SNF de la matriz  $D^L$ .*

Teorema (Abiad, A., Heysse & Vargas, 2019)

*Las gráficas estrella están determinadas por la SNF de la matriz  $D^L$ .*

Teorema (Abiad, A., 2021)

*Las gráficas completas están determinadas por la SNF de la matriz  $D^Q$ .*

# Gráficas codeterminantales



Aouchiche



Hansen

Aouchiche y Hansen reportaron lo siguiente sobre árboles coespectrales de a lo más 20 vértices con respecto a  $D$ ,  $D^L$  and  $D^Q$ .

$n$	18	19	20
# árboles	123,867	317,955	823,065
$D$ -coespectrales	4	12	28
$D^L$ -coespectrales	0	0	0
$D^Q$ -coespectrales	0	0	0

Conjetura (Aouchiche & Hansen, 2018)

*Los árboles están determinados por el espectro de  $D^L$ , y el espectro de  $D^Q$ .*

# Gráficas codeterminantales



Ron Graham



Henry O. Pollak

Hou y Woo extendieron la celebrada formula de Graham y Pollak  $\det(D(T_{n+1})) = (-1)^n n 2^{n-1}$ .

Teorema (Hou & Woo, 2008)

Sea  $T_{n+1}$  un árbol con  $n + 1$  vértices, entonces  $\text{SNF}(D(T_{n+1})) = I_2 \oplus 2I_{n-2} \oplus (2n)$ .

Corolario

*Todos los árboles de  $n$  vértices son  $D$ -coinvariantes.*

# Gráficas codeterminantales

No hay árboles  $D^L$ -coinvariantes ni árboles  $D^Q$ -coinvariantes de hasta con 20 vértices.

Conjetura (Abiad & A., 2021)

*Los árboles están determinados por la SNF de  $D^L$ , y la SNF de  $D^Q$ .*

# Gráficas codeterminantes

## Teorema

*Sean  $G$  y  $H$  dos gráficas de  $n$  vértices. Entonces,  $G$  y  $H$  son isomorfas si y sólo si existe una permutación  $\sigma$  de  $V(H)$  tal que*

$$D_n^{\mathcal{R}}(G, X) = D_n^{\mathcal{R}}(\sigma H, \sigma X).$$

# Gráficas codeterminantes

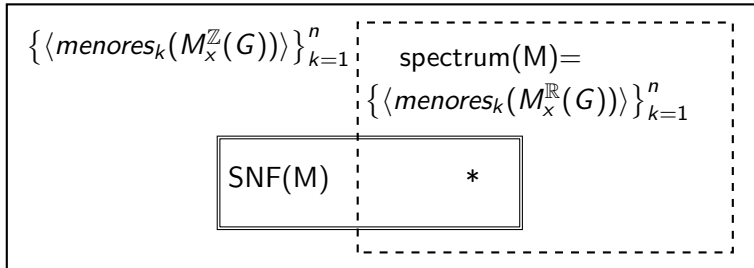
Definimos  $M_x(G) = xI_n - M(G)$ . Donde  $M$  puede ser alguna de las matrices  $D, D^L, D^Q, A, L, Q, \dots$

## Definition

Dos gráficas  $G$  y  $H$  son  $M_x^{\mathcal{R}}$ -codeterminantes si

$$\langle \text{menores}_k(M_x^{\mathcal{R}}(G)) \rangle = \langle \text{menores}_k(M_x^{\mathcal{R}}(H)) \rangle \subseteq \mathcal{R}[x]$$

para cada  $k \in [n]$ .



# Gráficas codeterminantales

$n$	$N$	$D_x^{\mathbb{Q}}$	$D^{\mathbb{Z}}$	$D_x^{\mathbb{Z}}$	$D_x^{L\mathbb{Q}}$	$D^{L\mathbb{Z}}$	$D_x^{L\mathbb{Z}}$
5	21	0	15	0	0	0	0
6	112	0	102	0	0	0	0
7	853	22	835	0	43	18	8
8	11,117	658	11,080	186	745	455	130
9	261,080	25,058	260,991	8,785	20,455	16,505	7,085

**Cuadro:** Número de gráficas conexas con una gráfica  $M_x^{\mathcal{R}}$ -codeterminantal. El número de vértices es denotado por  $n$  y el número de gráficas conexas con  $n$  vértices es denotado por  $N$ .

# Referencias

- C.A. Alfaro & L. Taylor, *Distance ideals of graphs*. **Linear Algebra Appl.** 584 (2020) 127–144. **F.I.: 0.988**
- C.A. Alfaro, *On graphs with two trivial distance ideals*. **Linear Algebra Appl.** 597 (2020) 69–85. **F.I.: 0.988**
- A. Abiad & C.A. Alfaro, *Enumeration of cospectral and coinvariant graphs*. **Appl. Math. Comput.** 408 (2021) 126348. **F.I.: 3.472**
- A. Abiad, C.A. Alfaro, K. Heysse & M. Vargas, *Eigenvalues, Smith normal form and determinantal ideals* **arXiv preprint** arXiv:1910.12502

¡Gracias!

Carlos A. Alfaro  
alfaromontufar@gmail.com